

# Procesamiento de señales I

86.51

Cecilia G. Galarza

FIUBA

Laboratorio de Procesamiento de Señales y Comunicaciones

2do Cuatrimestre 2022

# Procesamiento Multirate

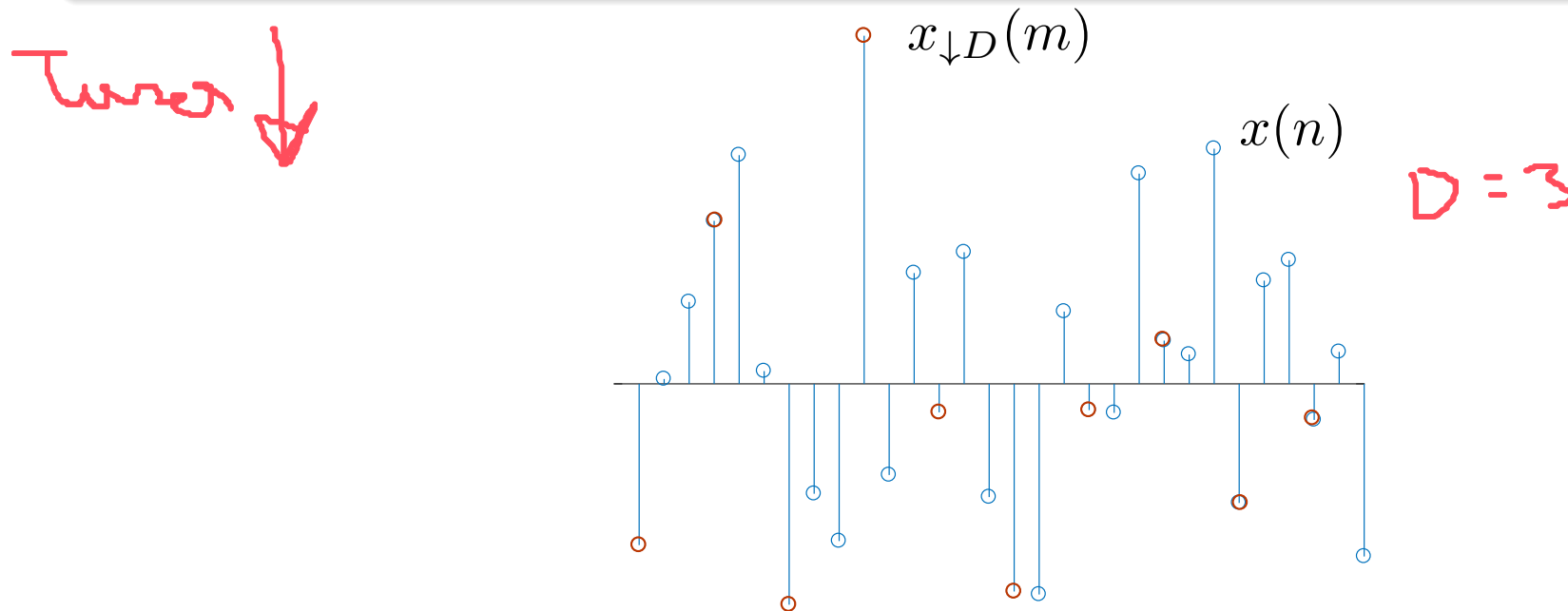
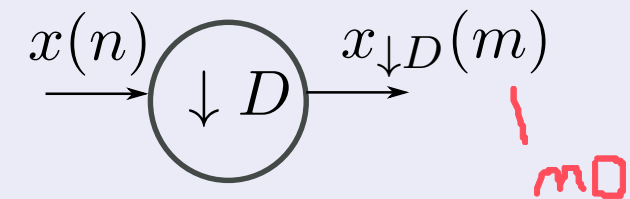
## Qué es un sistema de procesamiento *Multirate*?

Es un sistema en el cual las señales procesadas están muestreadas a distintas tasas de muestreo.

# Operaciones básicas (repaso S&S)

## Decimación o *downsampling*

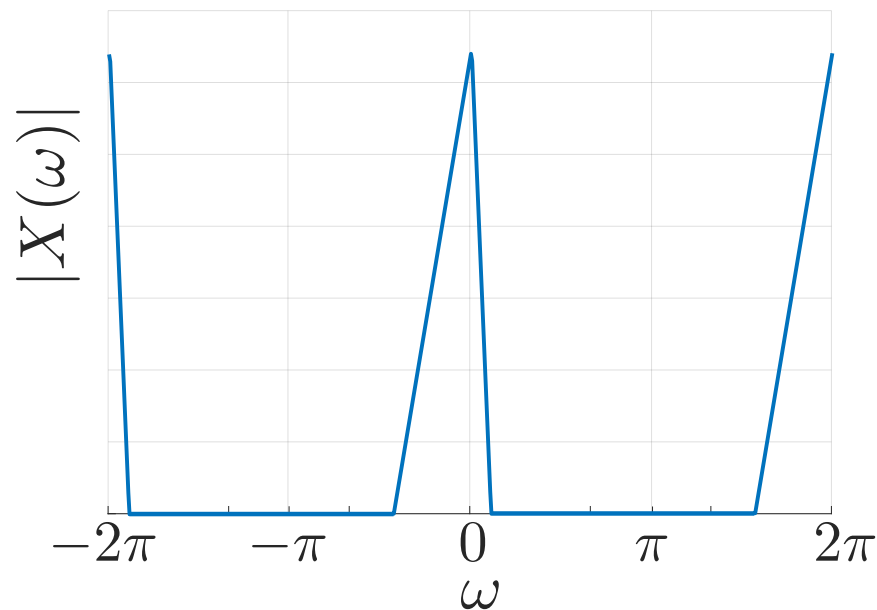
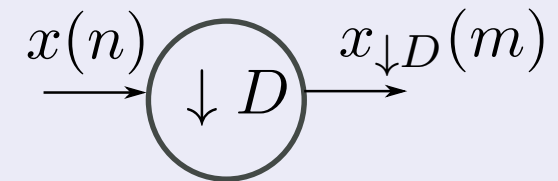
$$x_{\downarrow D}(m) = x(mD)$$



# Operaciones básicas (repaso S&S)

## Decimación o *downsampling*

$$x_{\downarrow D}(m) = x(mD)$$

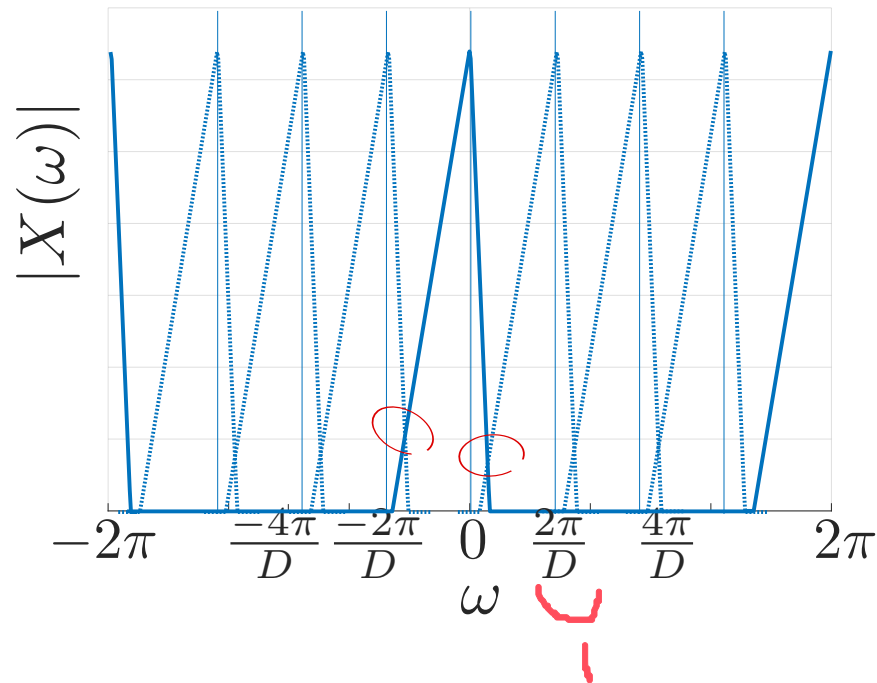
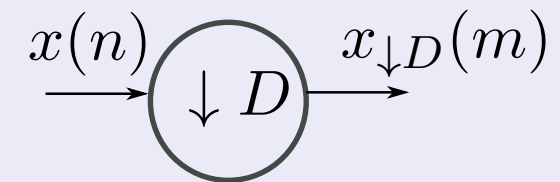


periodo  $2\pi$

# Operaciones básicas (repaso S&S)

## Decimación o *downsampling*

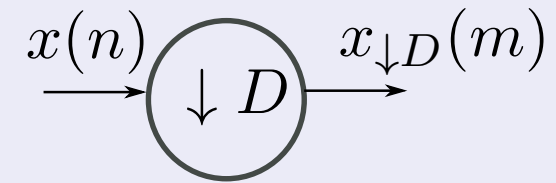
$$x_{\downarrow D}(m) = x(mD)$$



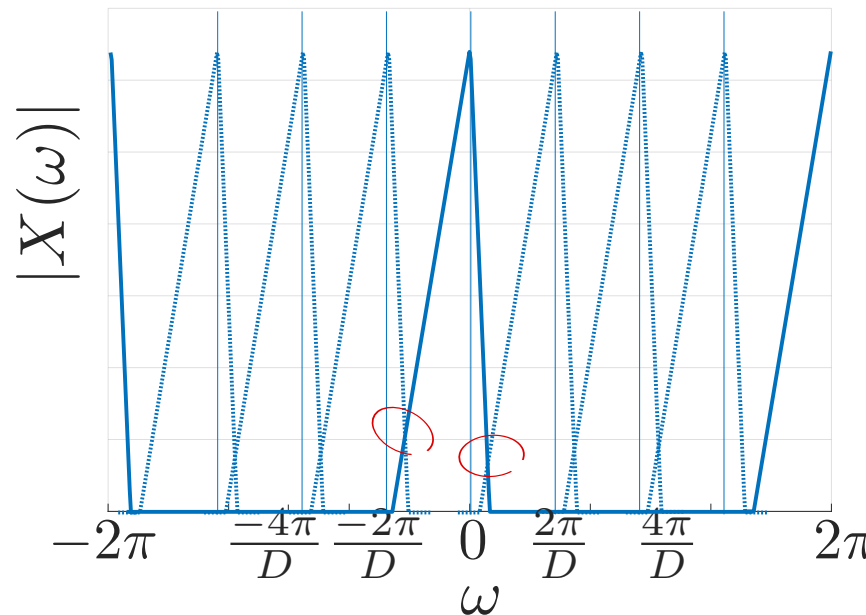
# Operaciones básicas (repaso S&S)

## Decimación o *downsampling*

$$x_{\downarrow D}(m) = x(mD)$$



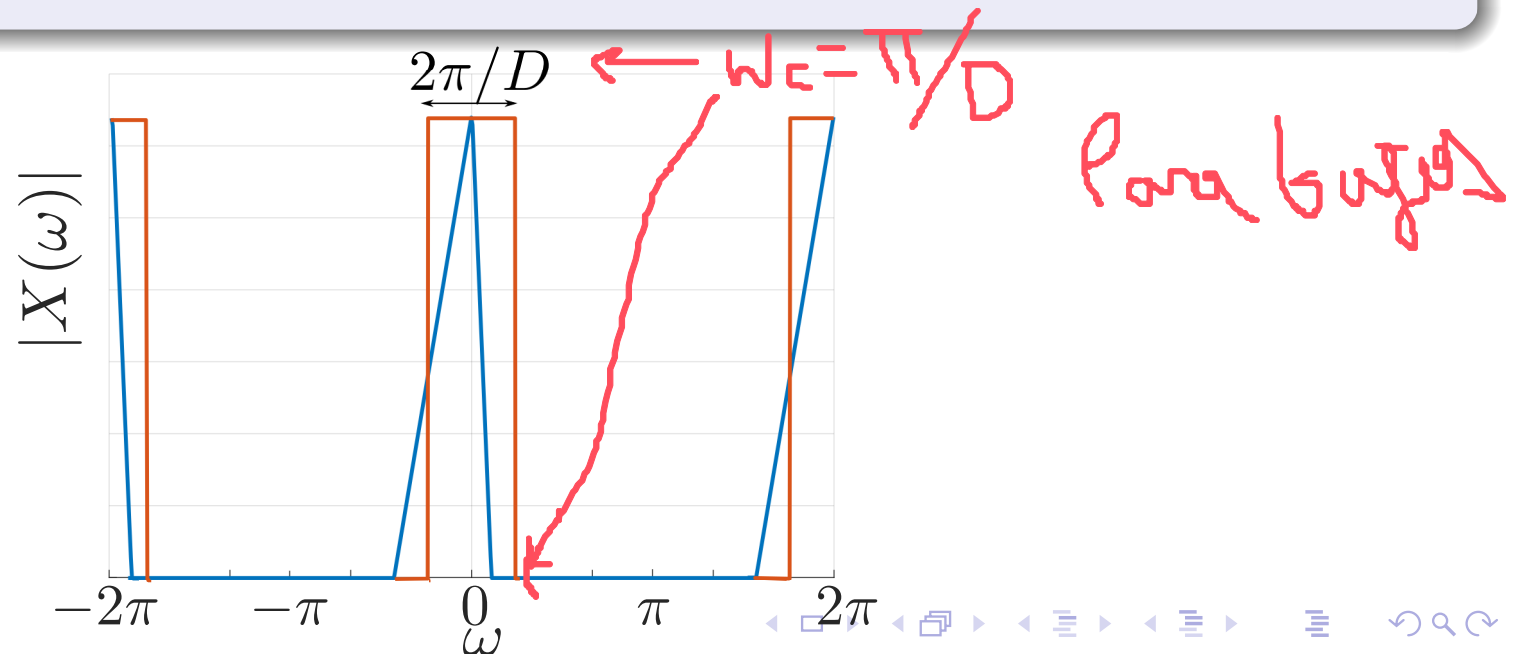
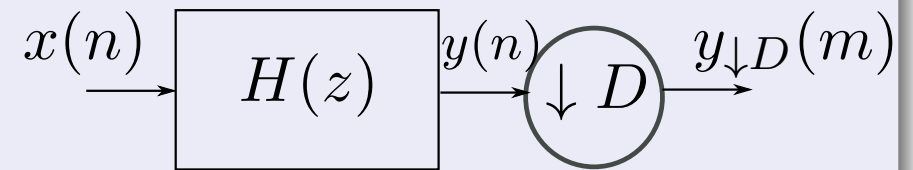
La señal  $x(n)$  debe ser limitada en banda para evitar *aliasing*.



# Operaciones básicas (repaso S&S)

## Decimación o *downsampling*

$$y_{\downarrow D}(m) = \sum_{k=-\infty}^{+\infty} h(n-k)x(k) \Big|_{n=mD}$$
$$= \sum_{k=-\infty}^{+\infty} h(mD-k)x(k)$$





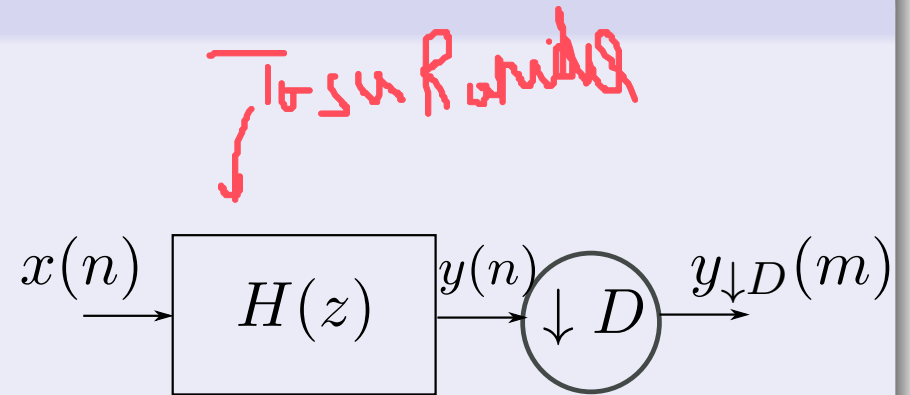
# Operaciones básicas (repaso S&S)

## Decimación o *downsampling*

$$y_{\downarrow D}(m) = \sum_{k=-\infty}^{+\infty} h(n-k)x(k) \Big|_{n=mD}$$

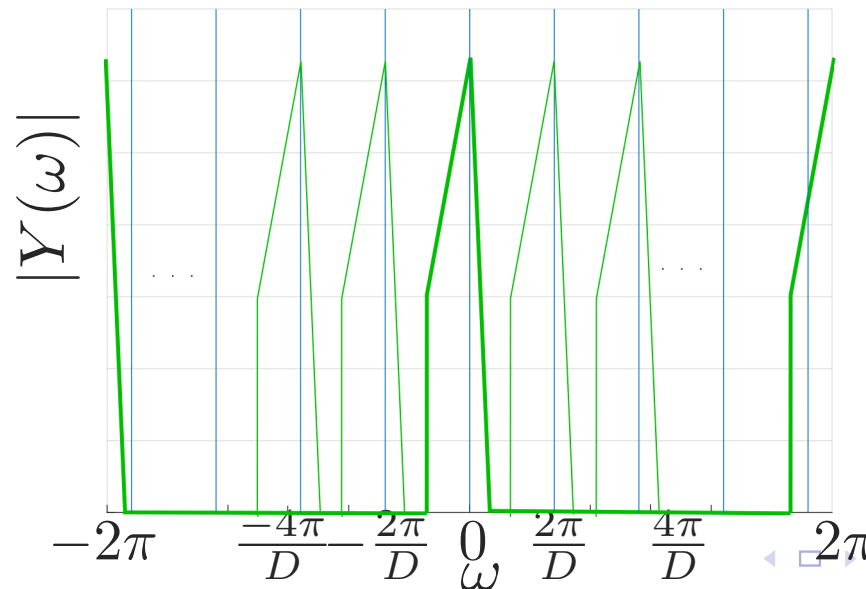
*Sampling*

$$= \sum_{k=-\infty}^{+\infty} h(mD-k)x(k)$$



*cont.*

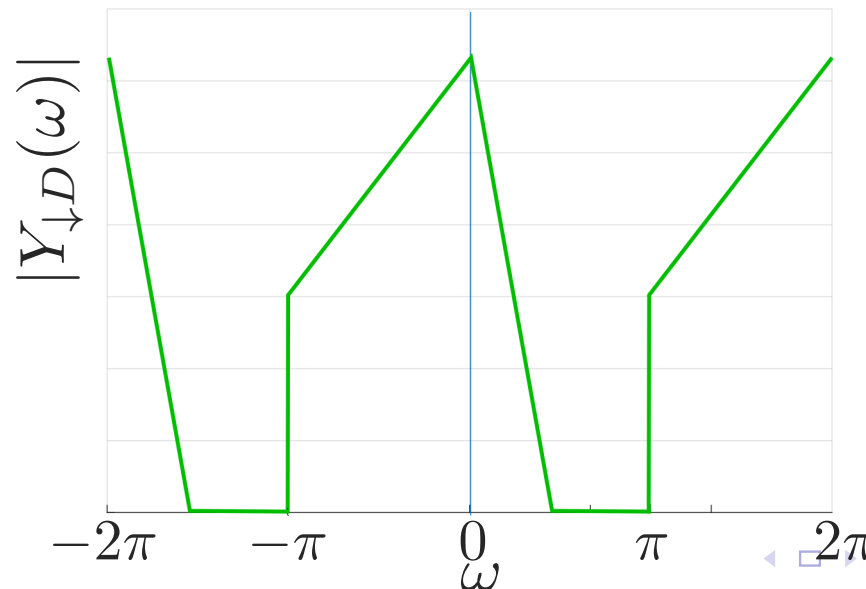
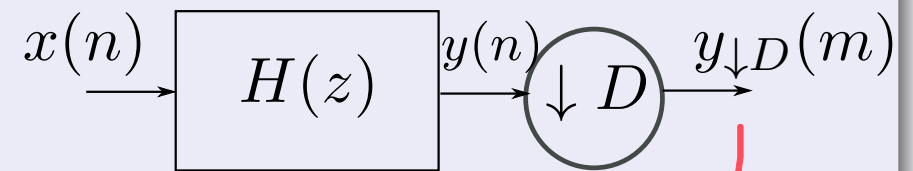
$$\omega = \frac{\omega_c}{\omega_s}$$



# Operaciones básicas (repaso S&S)

## Decimación o *downsampling*

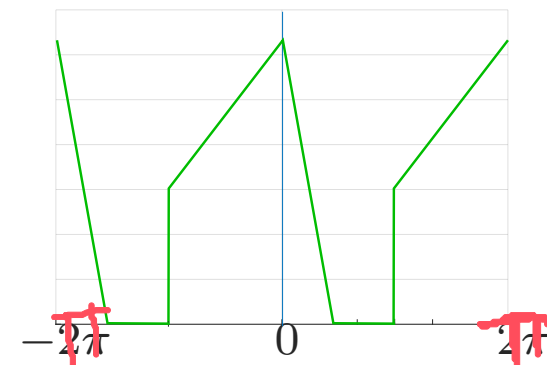
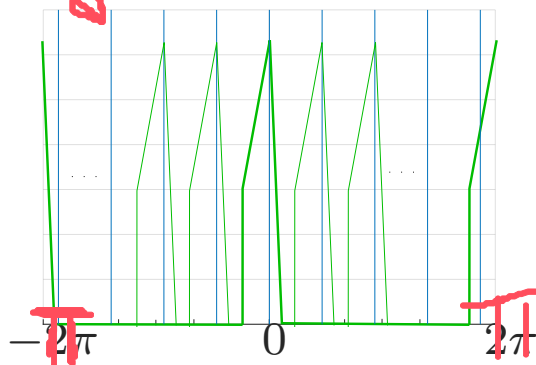
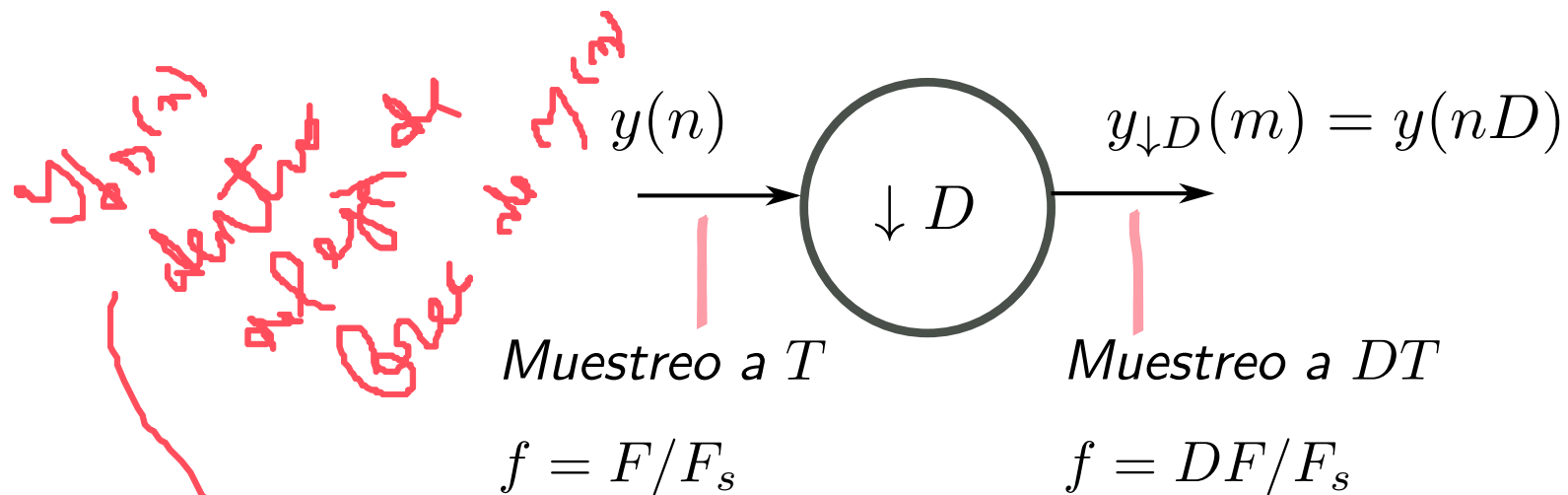
$$y_{\downarrow D}(m) = \sum_{k=-\infty}^{+\infty} h(n-k)x(k) \Big|_{n=mD}$$
$$= \sum_{k=-\infty}^{+\infty} h(mD-k)x(k)$$



← *banda  
lenta*

# Decimación o *downsampling*

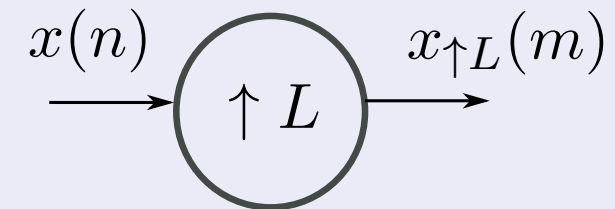
$$Y_{\downarrow D}(\omega) = \frac{1}{D} Y\left(\frac{\omega}{D}\right)$$



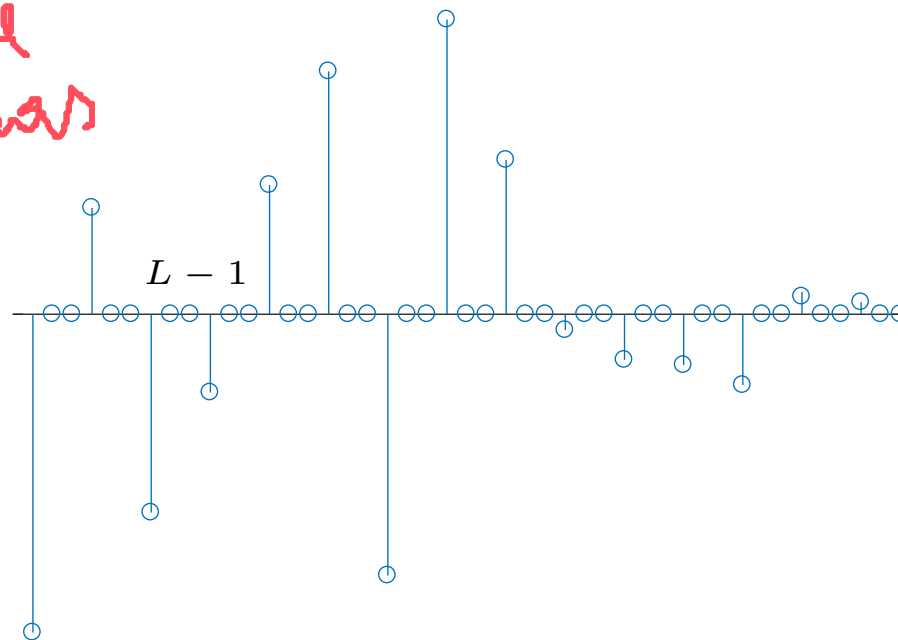
# Operaciones básicas (repaso S&S)

## Interpolación, expansión o *upsampling*

$$x_{\uparrow L}(m) = \begin{cases} x(m/L) & m = kL, k \in \mathbb{Z} \\ 0 & \text{otro } m. \end{cases}$$



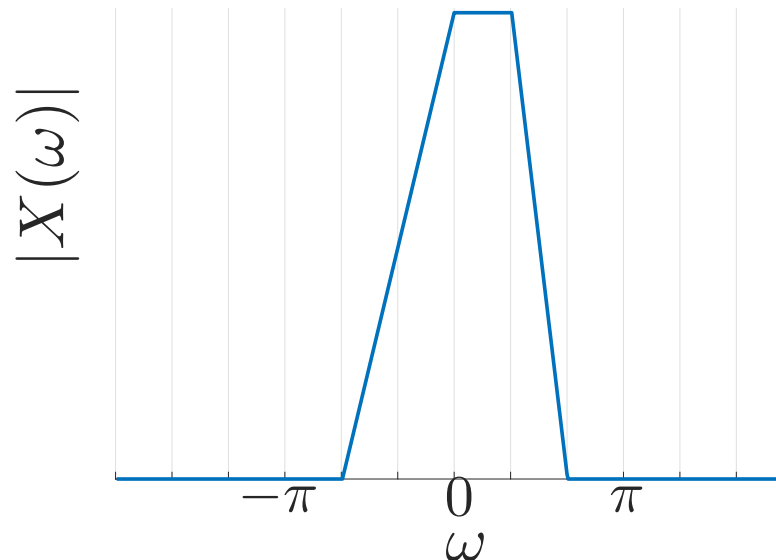
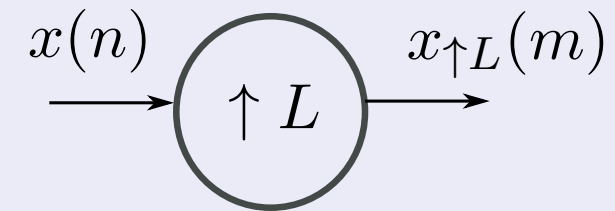
*L-1 ceros entre  
dos muestras*



# Operaciones básicas (repaso S&S)

## Interpolación, expansión o *upsampling*

$$x_{\uparrow L}(m) = \begin{cases} x(m/L) & m = kL, k \in \mathbb{Z} \\ 0 & \text{otro } m. \end{cases}$$

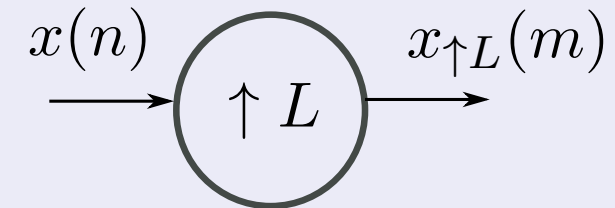


↖ frecuencia  
o una más  
muestras

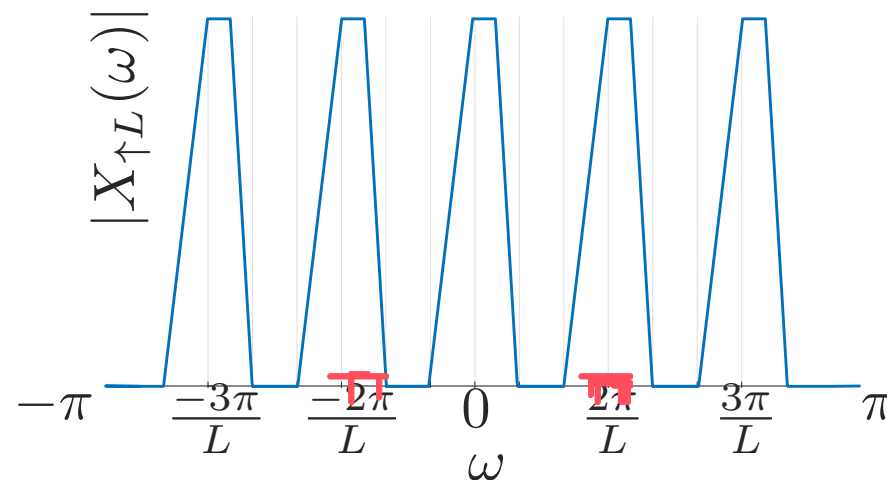
# Operaciones básicas (repaso S&S)

## Interpolación, expansión o *upsampling*

$$x_{\uparrow L}(m) = \begin{cases} x(m/L) & m = kL, k \in \mathbb{Z} \\ 0 & \text{otro } m. \end{cases}$$



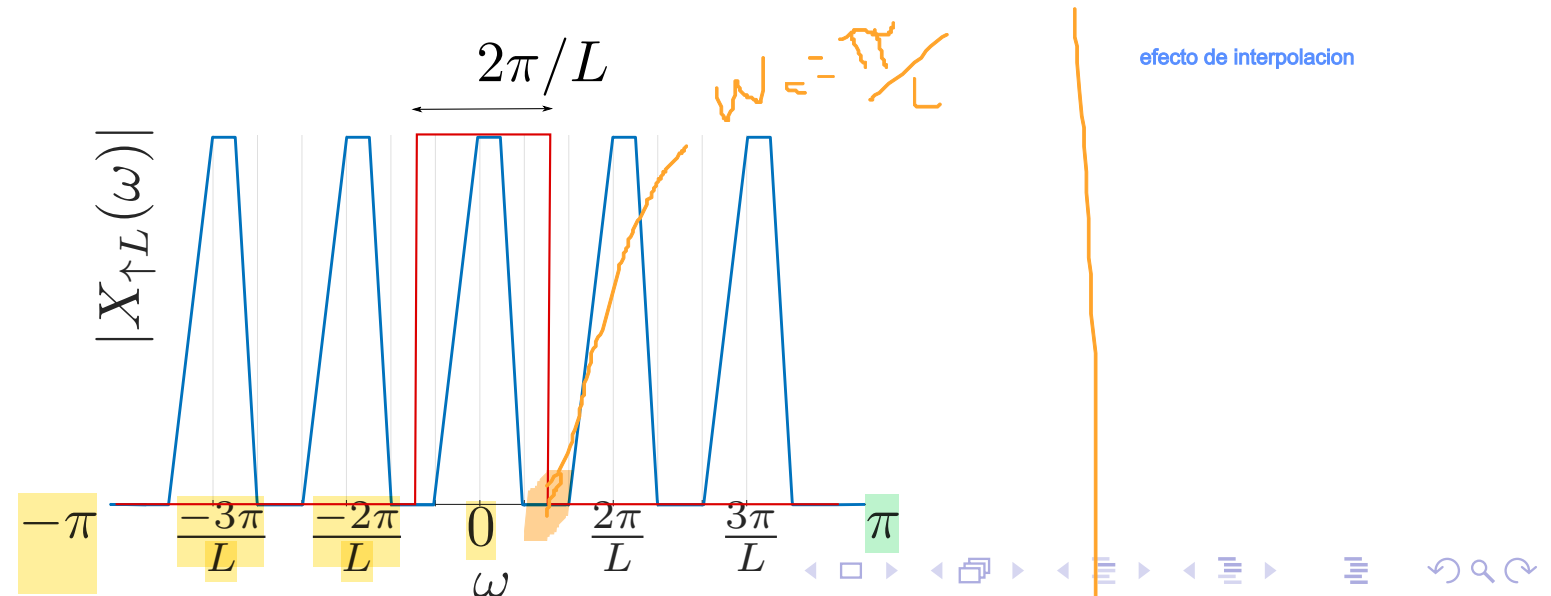
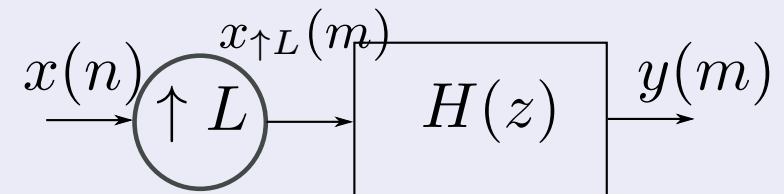
Aparecen réplicas del espectro que deben ser canceladas.



# Operaciones básicas (repaso S&S)

## Interpolación, expansión o *upsampling*

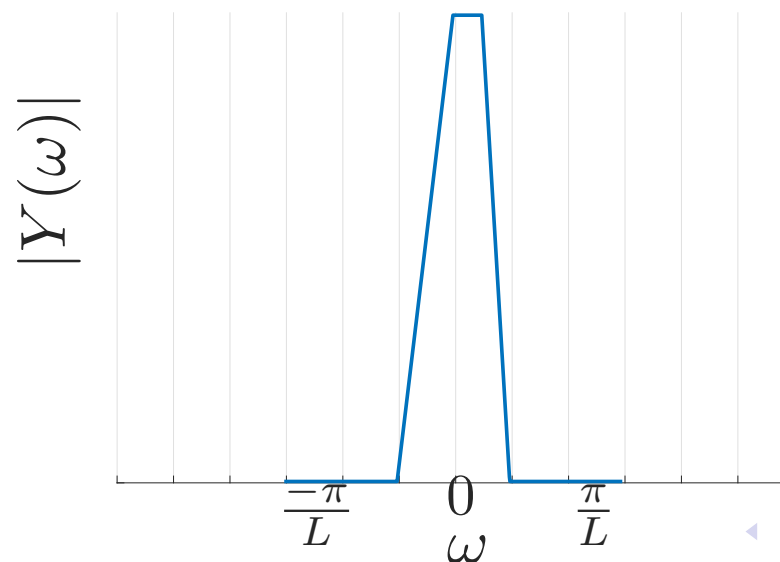
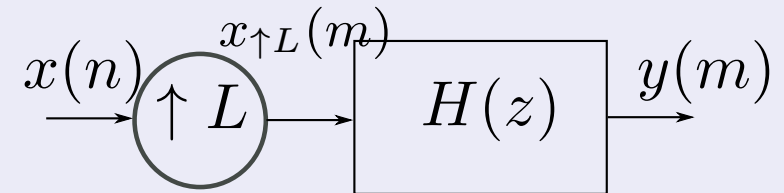
$$\begin{aligned} y(m) &= \sum_{k=-\infty, k=sL}^{+\infty} h(m-k)x(k/L) \\ &= \sum_{s=-\infty}^{+\infty} h(m-sL)x(s) \end{aligned}$$



# Operaciones básicas (repaso S&S)

## Interpolación, expansión o *upsampling*

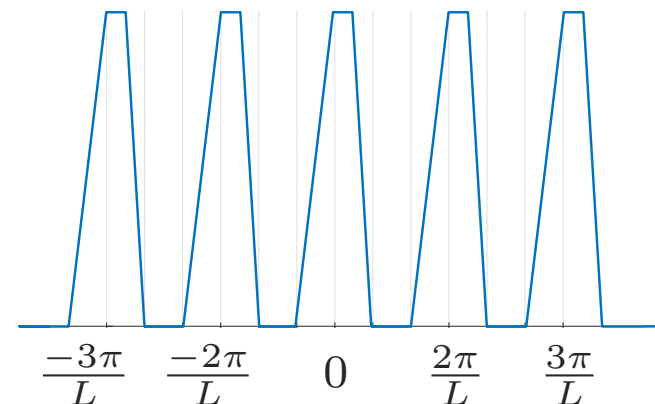
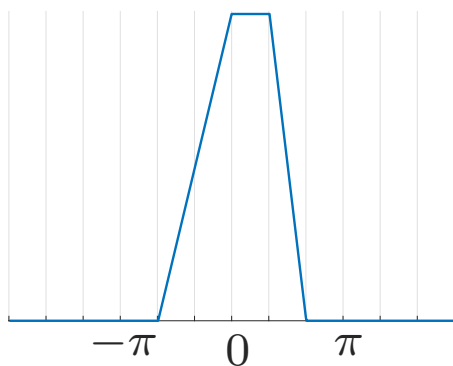
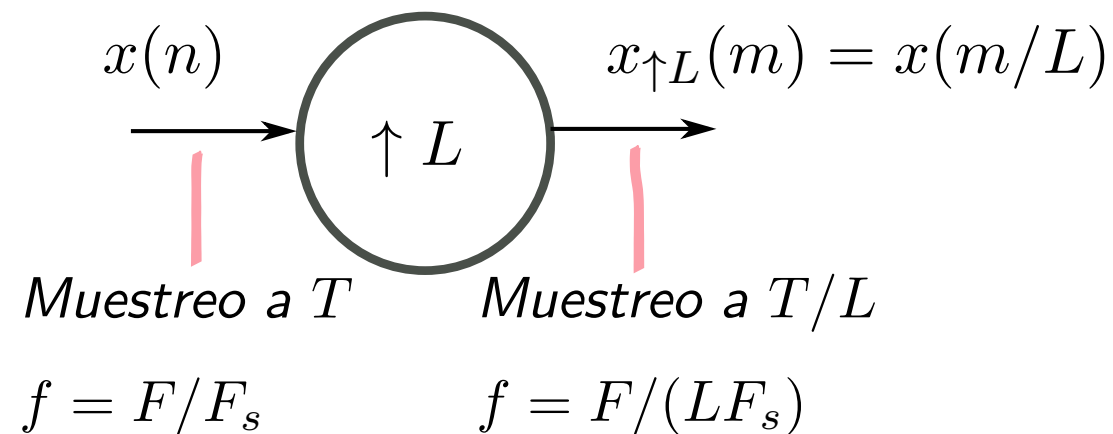
$$\begin{aligned} y(m) &= \sum_{k=-\infty, \underline{k=sL}}^{+\infty} h(m-k) x(\overset{\text{SL}}{\underset{\downarrow}{k/L}}) \\ &= \sum_{s=-\infty}^{+\infty} h(m - \overset{\text{K}}{\overbrace{sL}}) x(s) \end{aligned}$$





# Interpolación o *upsampling*

$$X_{\uparrow L}(\omega) = X(L\omega) \quad |\omega| \leq \frac{\pi}{L}$$



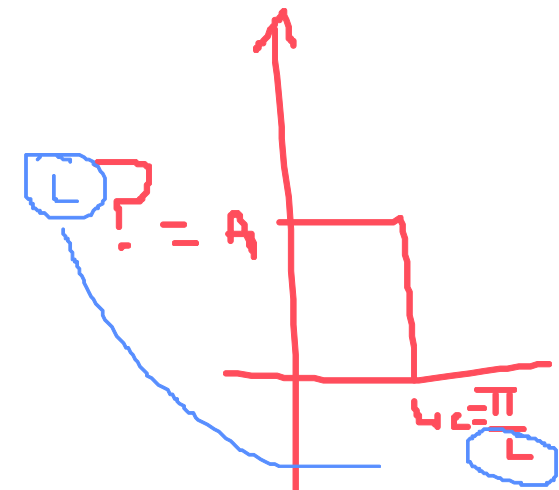
# Pregunta

Para mantener  $y(0) = x_{\uparrow L}(0)$ ,  $H(z)$  debe tener ganancia  $L$  en la banda de paso. En ese caso,

$$Y(\omega) = LX(L\omega)$$

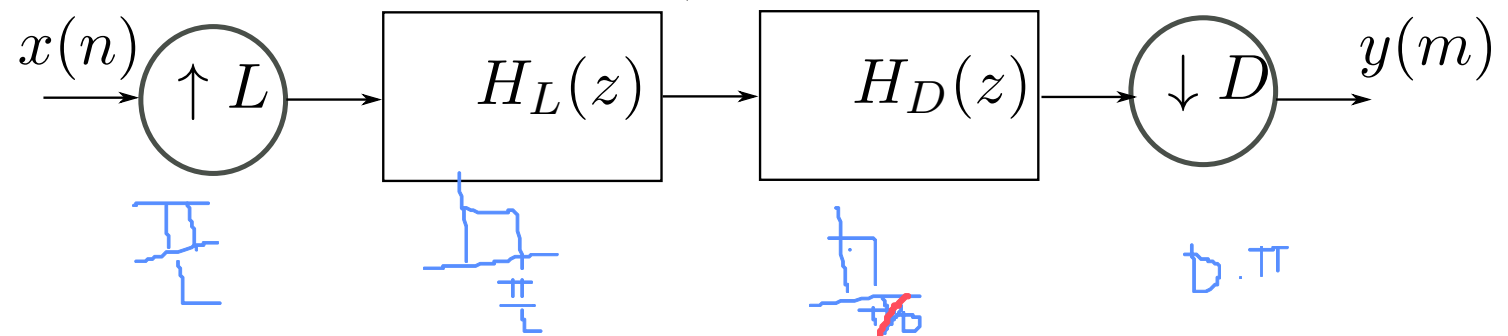
Por qué?

Se tiene que mantener  
las Areas en espectro



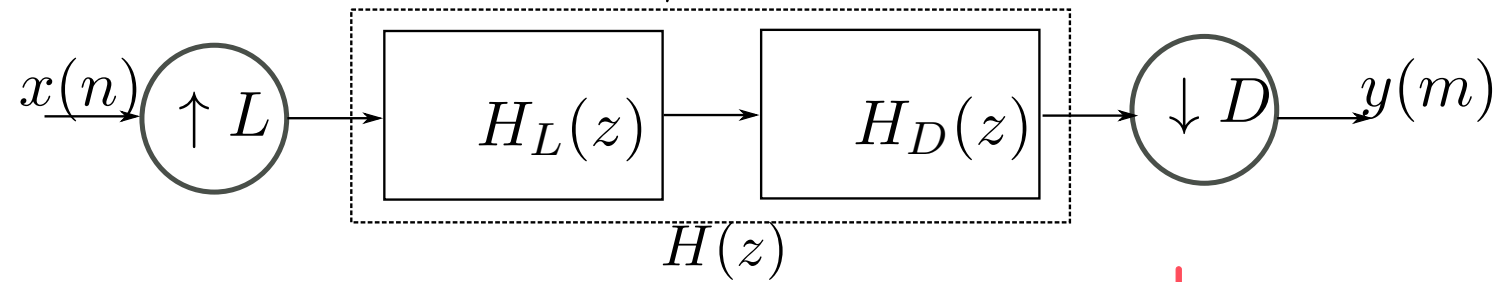
# Cómo utilizar un factor no entero?

- En las operaciones anteriores, vimos cómo decimar o interpolar por un factor entero.
- Si combinamos ambas operaciones, podemos cambiar la tasa de muestreo por un factor racional  $Q = L/D$ .



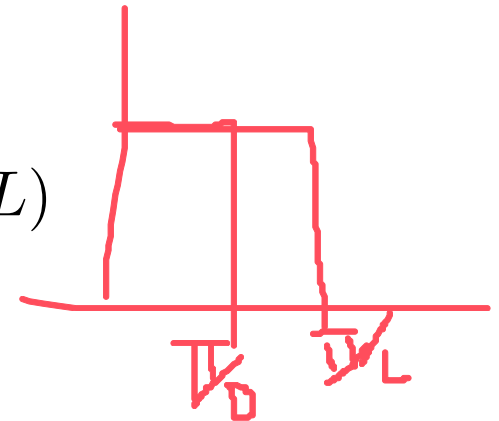
# Cómo utilizar un factor no entero?

- En las operaciones anteriores, vimos cómo decimar o interpolar por un factor entero.
- Si combinamos ambas operaciones, podemos cambiar la tasa de muestreo por un factor racional  $Q = L/D$ .



El filtro ideal combinado es:

$$H(\omega) = \begin{cases} L & 0 \leq |\omega| \leq \min(\pi/D, \pi/L) \\ 0 & \text{otro } \omega. \end{cases}$$



$$y(m) = \sum_{k=-\infty}^{+\infty} h(n - kL)x(k) \Big|_{n=mD} = \sum_{k=-\infty}^{+\infty} h(mD - kL)x(k)$$


*Handwritten red annotations:*  
 - Above the first sum: "sobremuestreo" (oversampling)  
 - Above the second sum: "luego decimas" (then decimate)  
 - Below the second sum: "¿cuántas L?" (how many Ls?)

# Analicemos $Q = L/D$

En la expresión anterior, tenemos que evaluar la respuesta del filtro en  $mD - kL$  para  $m, k, \in \mathbb{Z}$ . Vamos a analizar cuántos desplazamientos enteros de  $L$  muestras hay en  $mD - kL$ . Sea  $\lfloor \alpha \rfloor$  la parte entera de  $\alpha$ . Luego,

$$\left\lfloor \frac{mD - kL}{L} \right\rfloor = \left\lfloor \frac{mD}{L} \right\rfloor - k \in \mathbb{N}.$$

Por otro lado, el resto de la división entera de  $mD$  por  $L$  es

def. 

$$(mD)_L = \left[ mD - \left\lfloor \frac{mD}{L} \right\rfloor L \right] \in \{1, 2, \dots, L - 1\}.$$

Luego,

$$mD - kL = \underbrace{\left[ \left\lfloor \frac{mD}{L} \right\rfloor - k \right]}_n L + (mD)_L.$$

# Cómo resulta $h(mD - kL)$ ?

Utilizando el cambio de variable  $k = \left\lfloor \frac{mD}{L} \right\rfloor - n$ , obtenemos

$$\begin{aligned} y(m) &= \sum_{k=-\infty}^{+\infty} h(mD - kL)x(k) \\ &= \sum_{n=-\infty}^{+\infty} h(mD - \left\lfloor \frac{mD}{L} \right\rfloor L + nL)x\left(\left\lfloor \frac{mD}{L} \right\rfloor - n\right) \\ &= \sum_{\underline{n}=-\infty}^{+\infty} \underbrace{h(\underline{n}L + (\underline{m}D)_L)}_{g(\underline{n}, \underline{m})} x\left(\left\lfloor \frac{mD}{L} \right\rfloor - n\right). \end{aligned}$$

*← donde  $\underline{m}$  es mi señal nom.*

Vamos a demostrar que  $g(n, m)$  es periódica en  $m$  de período  $L$ , es decir

$$g(n, m) = g(n, m + sL) \quad , \quad s \in \mathbb{Z}$$

# Cómo resulta $h(mD - kL)$ ?

$g(n, m + sL) = h(nL + ((m + sL)D)_L)$  donde  $((m + sL)D)_L$  es el resto de la división entera

$$\begin{aligned} ((m + sL)D)_L &= (m + sL)D - \left\lfloor \frac{(m + sL)D}{L} \right\rfloor L \\ &= mD - \left\lfloor \frac{mD}{L} \right\rfloor L + sLD - \left\lfloor \frac{sLD}{L} \right\rfloor L \\ &= mD - \left\lfloor \frac{mD}{L} \right\rfloor L = (mD)_L \end{aligned}$$

Interpretación:  $x$  es procesada por un sistema LTV periódico en  $m$ ,

$$g(n, m) = g(n, m + sL).$$

varia  
en el tiempo  
lineal

# Cómo afecta $H(z)$ ?

En el campo transformado, si consideramos que  $H(z)$  elimina las réplicas por el interpolado, y el aliasing del decimado, tenemos,

$$Y(\omega) = \begin{cases} \frac{L}{D} X\left(\frac{L\omega}{D}\right) & 0 \leq |\omega| \leq \min(\pi, \frac{\pi D}{L}) \\ 0 & \text{otro } \omega. \end{cases}$$

Hay que tener en cuenta que la señal decimada es la salida del filtro  $H(z)$ ,  $v(n) = h(n) * x(nI)$ . Por ende,  $y(m)$  va a contener las distorsiones aportadas por la implementación del filtro.

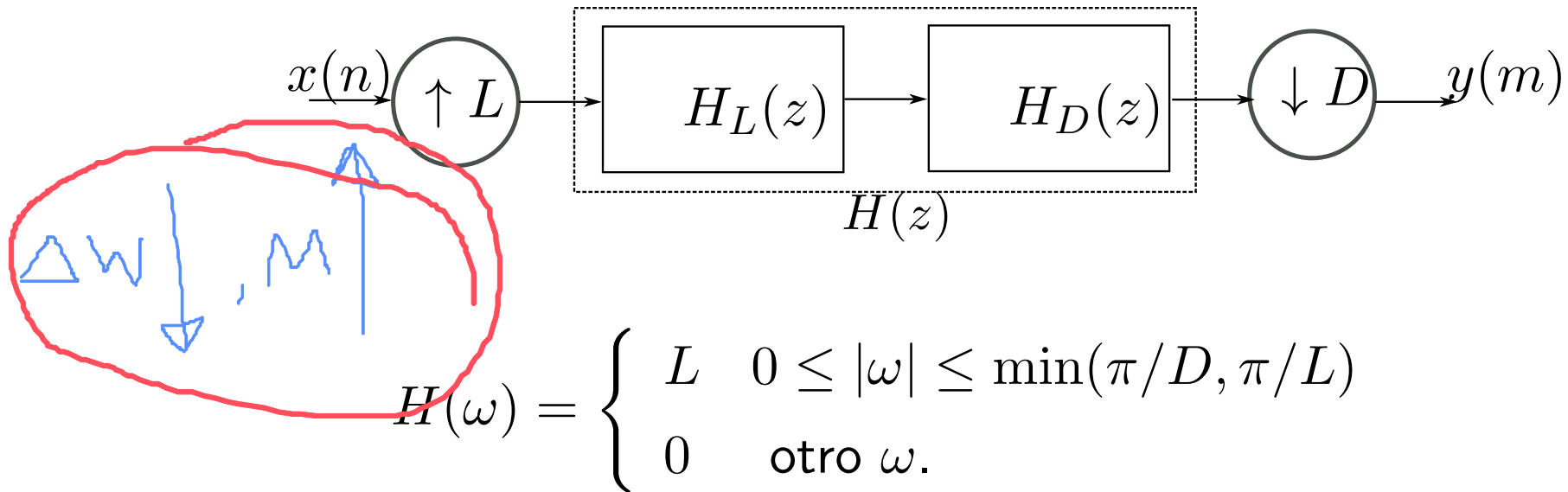
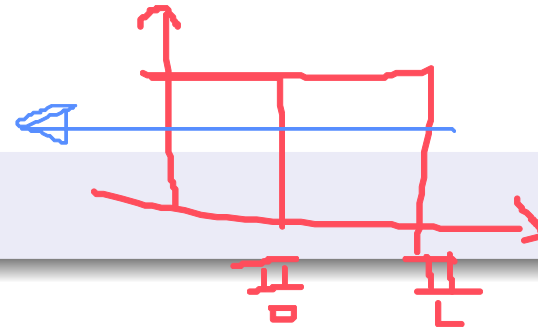


# Esquemas de múltiples etapas

Qué sucede si  $L \gg 1$  o  $D \gg 1$ , o ambos?

# Esquemas de múltiples etapas

Qué sucede si  $L \gg 1$  o  $D \gg 1$ , o ambos?



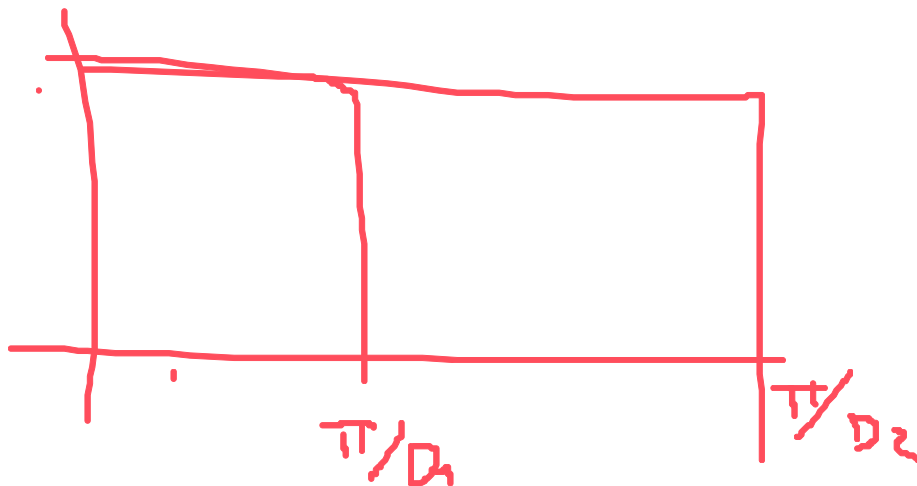
El orden del filtro  $H(z)$  es muy elevado porque la banda de transición es muy estrecha.

# Esquemas de múltiples etapas

Supongamos que estamos haciendo una decimación con  $D = D_1 D_2$ . La banda de rechazo del filtro antialiasing debe comenzar en  $\omega_s = \frac{\pi}{D}$ .

Entonces,

$$\Delta\omega = \omega_s - \omega_p = \frac{\pi}{D} - \omega_p \quad , \quad \omega_p \text{ dado.}$$



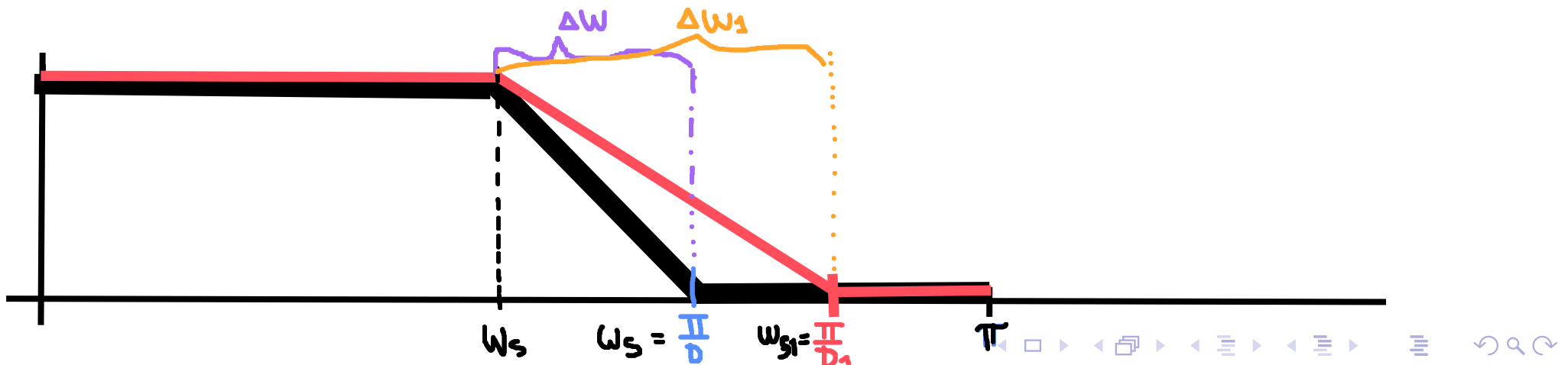
$p=100$  ,  $D_1=50$   
 $D_2=2$

# Esquemas de múltiples etapas

Supongamos que estamos haciendo una decimación con  $D = D_1 D_2$ . La banda de rechazo del filtro antialiasing debe comenzar en  $\omega_s = \frac{\pi}{D}$ . Entonces,

$$\Delta\omega = \omega_s - \omega_p = \frac{\pi}{D} - \omega_p, \quad \omega_p \text{ dado.}$$

Si en lugar de decimar por  $D$ , decimamos primero por  $D_1$ , entonces  $\omega_{s1} = \frac{\pi}{D_1} > \omega_s$  y la banda de transición es más holgada.



# Esquemas de múltiples etapas

Por otro lado, vimos que el orden de un filtro

$$M \propto \frac{1}{\Delta\omega}.$$

Luego,

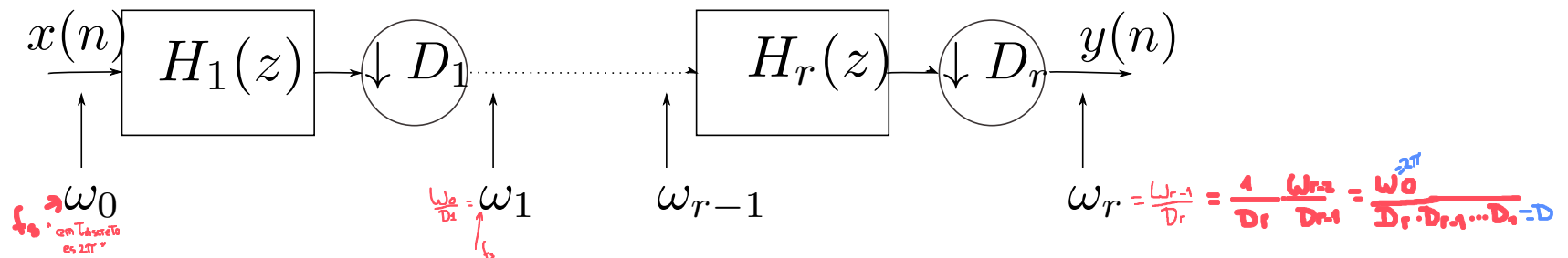
$$\Delta\omega_1 > \Delta\omega \implies \underline{M_1} < M$$

Vamos a ver que se puede lograr una reducción aún mayor de  $M$  con una selección juiciosa de  $\omega_{s1}$ .

# Esquemas de múltiples etapas: decimación

Queremos implementar un decimador por un factor  $D$ . Luego, el filtro antialiasing debe preservar la banda  $0 \leq \omega \leq \omega_s = \pi/D$ . Asumimos que  $\omega_p < \frac{\pi}{D}$ . Sea

$$D = D_1 D_2 \cdots D_r.$$



La tasa de muestreo luego de la  $i$ -ésima etapa de decimación es<sup>1</sup>

$$\omega_i = \frac{\omega_{i-1}}{D_i} = \frac{2\pi \omega_0}{D_1 D_2 \cdots D_i}, \quad i = 1, \cdots, r, \quad \text{donde } \omega_0 = 2\pi.$$

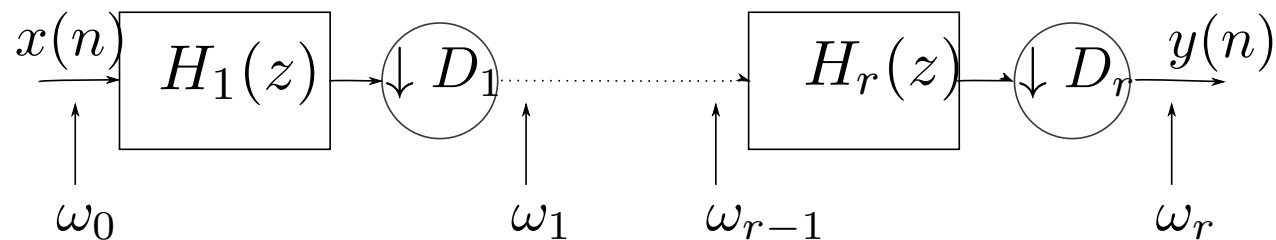
<sup>1</sup>Esto corresponde a

$$F_i = \frac{F_{i-1}}{D_i} = \frac{F_0}{D_1 D_2 \cdots D_i} \quad (\text{en Hz})$$

# Esquemas de múltiples etapas: decimación

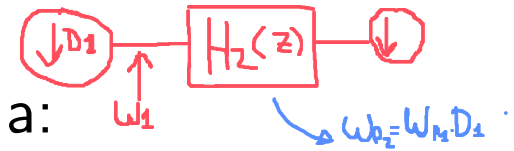
Queremos implementar un decimador por un factor  $D$ . Luego, el filtro antialiasing debe preservar la banda  $0 \leq \omega \leq \omega_s = \pi/D$ . Asumimos que  $\omega_p < \frac{\pi}{D}$ . Sea

$$D = D_1 D_2 \cdots D_r.$$



Observen que el filtrado de la  $i$ -ésima etapa se realiza a la tasa  $\omega_{i-1}$ .

En cada etapa, implementamos  $H_i(z)$  de acuerdo a:

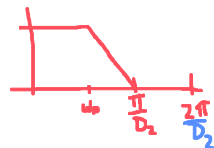


banda de paso:

$$\omega_{p_i} = D_1 \cdots D_{i-1} \omega_p = D_{i-1} \omega_{p_{i-1}}$$

banda de transición:

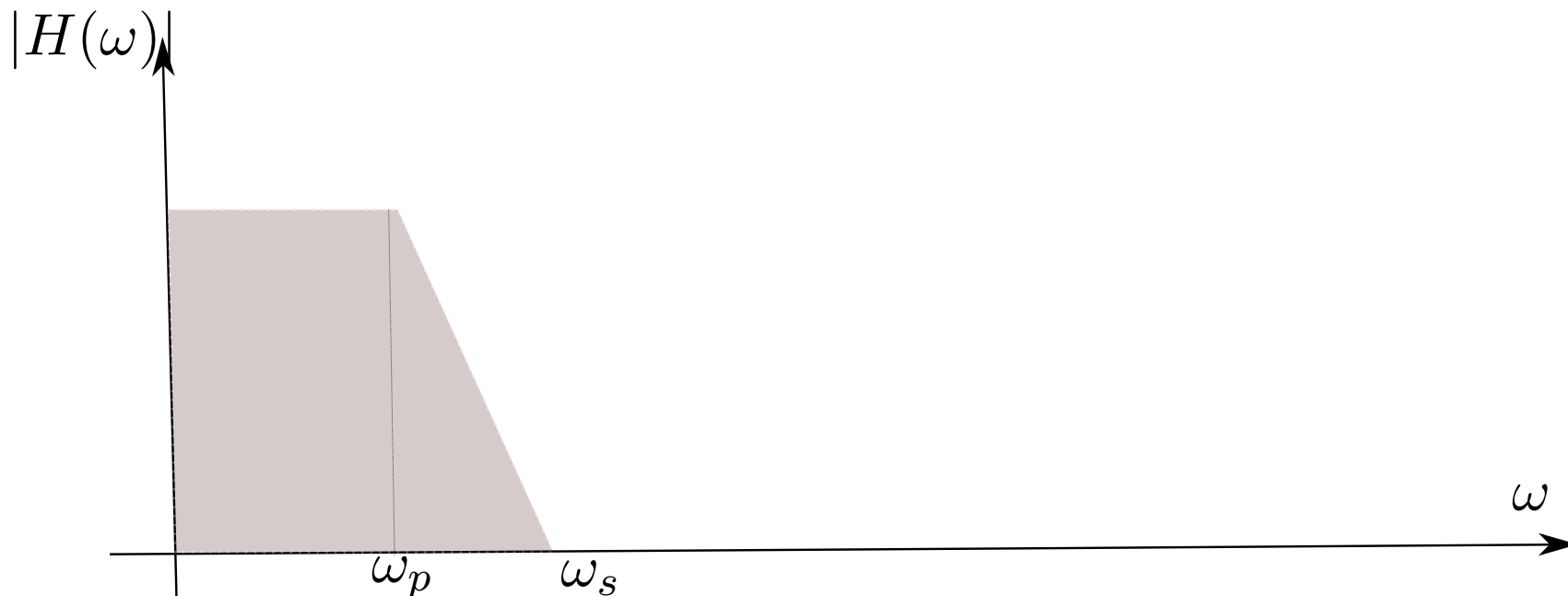
$$\omega_{s_i} = \frac{2\pi}{D_i} - \underbrace{D_1 \cdots D_{i-1} \omega_s}_{\omega_{s_{i-1}}} = \left[ \frac{2}{D_i} - \frac{1}{D_i \cdots D_r} \right] \pi.$$



# Esquemas de múltiples etapas: decimación

## Observaciones:

- La frecuencia  $\omega_{p_i}$  corresponde a la frecuencia  $F_p$  normalizada a la tasa  $F_{i-1}$  ( $F_p$  y  $F_{i-1}$  expresadas en Hz.)
- $\omega_{s_i} > \omega_i/2$ . Luego, la  $i$ -ésima etapa genera aliasing, pero no en la banda que corresponde a  $0 \leq F \leq F_0/D$ .

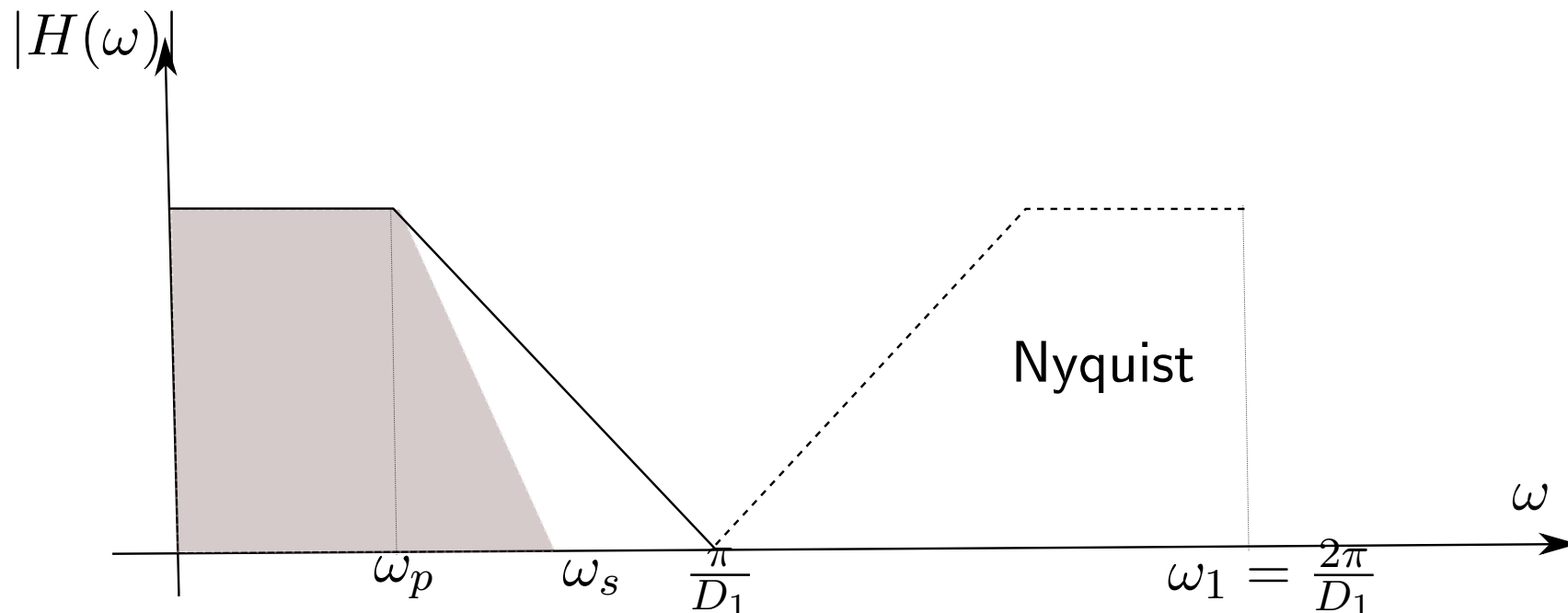




# Esquemas de múltiples etapas: decimación

## Observaciones:

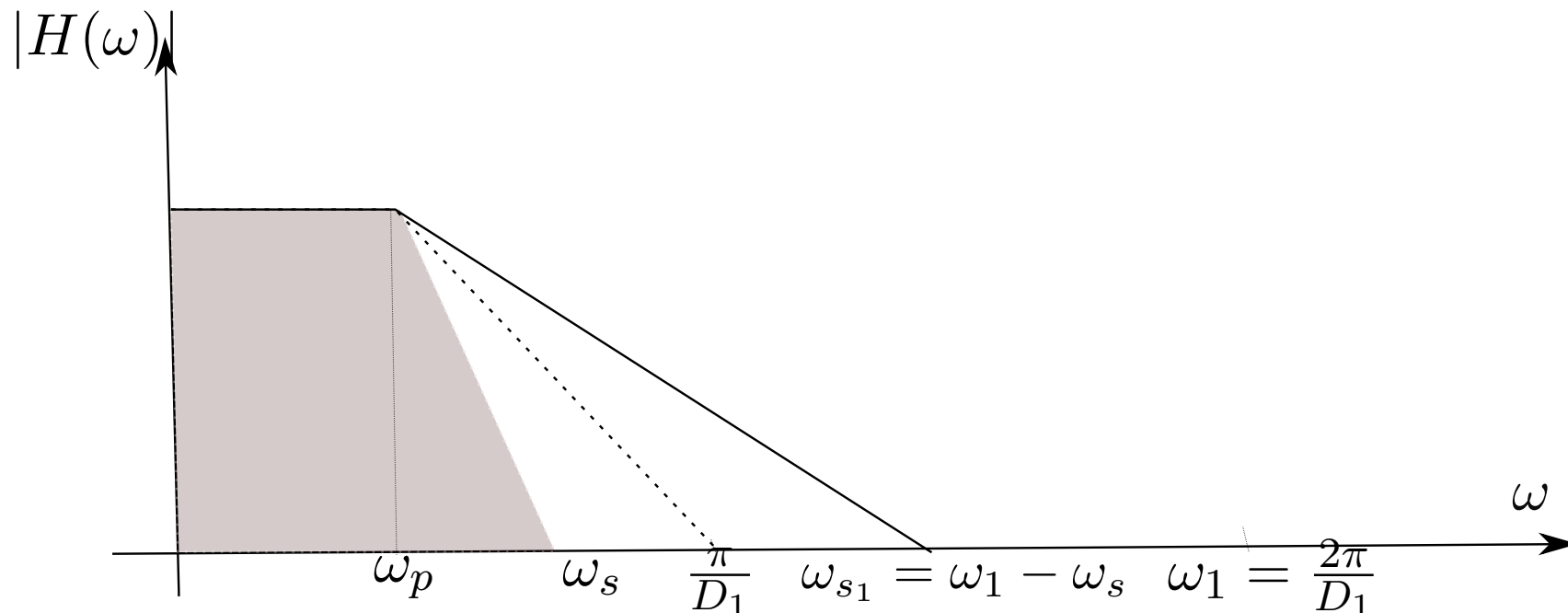
- La frecuencia  $\omega_{p_i}$  corresponde a la frecuencia  $F_p$  normalizada a la tasa  $F_{i-1}$  ( $F_p$  y  $F_{i-1}$  expresadas en Hz.)
- $\omega_{s_i} > \omega_i/2$ . Luego, la  $i$ -ésima etapa genera aliasing, pero no en la banda que corresponde a  $0 \leq F \leq F_0/D$ .



# Esquemas de múltiples etapas: decimación

## Observaciones:

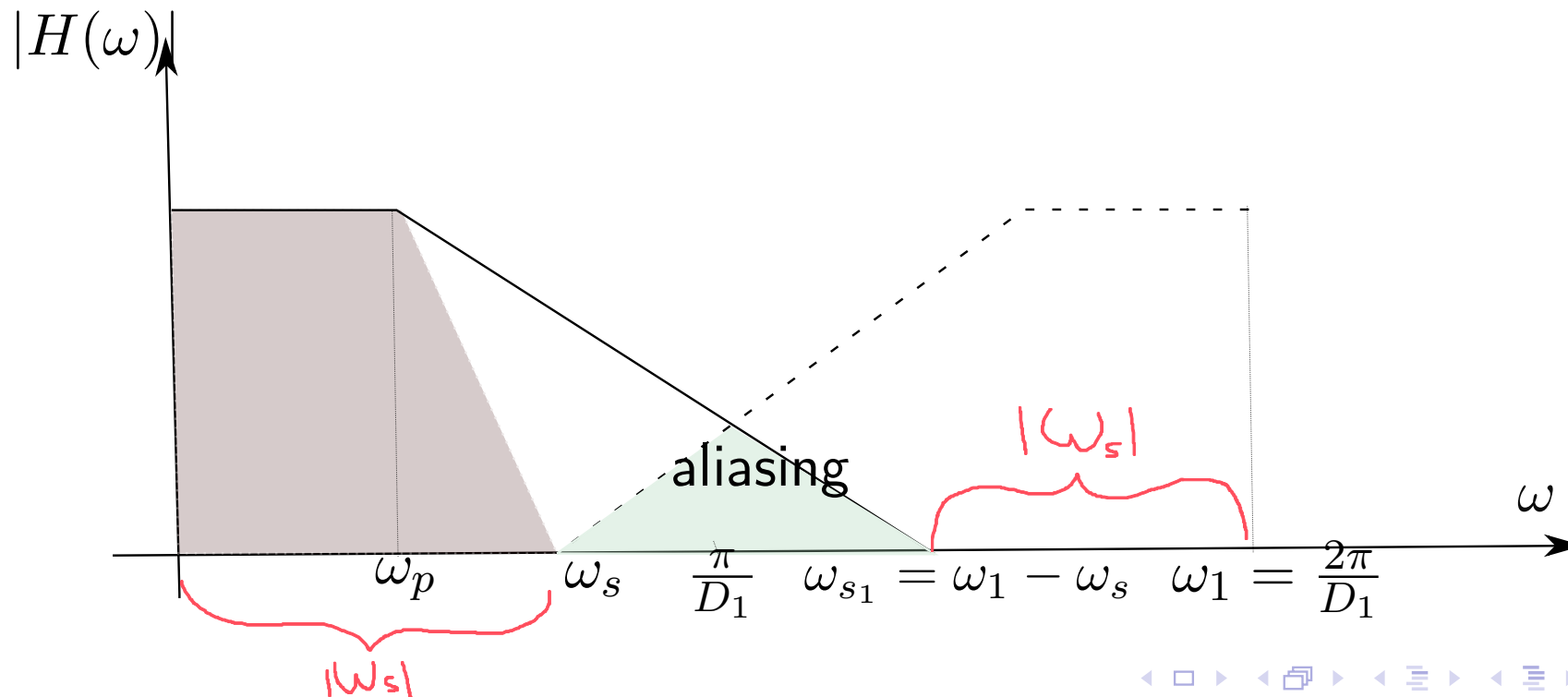
- La frecuencia  $\omega_{p_i}$  corresponde a la frecuencia  $F_p$  normalizada a la tasa  $F_{i-1}$  ( $F_p$  y  $F_{i-1}$  expresadas en Hz.)
- $\omega_{s_i} > \omega_i/2$ . Luego, la  $i$ -ésima etapa genera aliasing, pero no en la banda que corresponde a  $0 \leq F \leq F_0/D$ .



# Esquemas de múltiples etapas: decimación

Observaciones:

- La frecuencia  $\omega_{p_i}$  corresponde a la frecuencia  $F_p$  normalizada a la tasa  $F_{i-1}$  ( $F_p$  y  $F_{i-1}$  expresadas en Hz.)
- $\omega_{s_i} > \omega_i/2$ . Luego, la  $i$ -ésima etapa genera aliasing, pero no en la banda que corresponde a  $0 \leq F \leq F_0/D$ .



# Esquemas de múltiples etapas: Ejemplo de decimación

*Una señal muestreada a  $F_0 = 96\text{kHz}$  es decimada con  $D = 12$ . El ancho de banda de la señal es de  $F_p = 3\text{kHz}$ , y el riple  $\delta = 10^{-5}$ . Filtro usando Kaiser.*

- Una etapa:

$$\begin{aligned}\omega_p &= 2\pi \frac{3 \times 10^3}{96 \times 10^3} = \frac{\pi}{16} \\ \omega_s &= \frac{\pi}{D} = \frac{\pi}{12}\end{aligned} \quad \Rightarrow \quad M = 249$$

# Esquemas de múltiples etapas: Ejemplo de decimación

Una señal muestreada a  $F_0 = 96\text{kHz}$  es decimada con  $D = 12$ . El ancho de banda de la señal es de  $F_p = 3\text{kHz}$ , y el ripple  $\delta = 10^{-5}$ . Filtro usando Kaiser.

- Una etapa:

$$\begin{aligned}\omega_p &= 2\pi \frac{3 \times 10^3}{96 \times 10^3} = \frac{\pi}{16} \\ \omega_s &= \frac{\pi}{D} = \frac{\pi}{12}\end{aligned} \quad \Rightarrow \quad M = 249$$

- Dos etapas:  $D_1 = 3, D_2 = 4$

$$\begin{aligned}\omega_{s1} &= \frac{2\pi}{D} - \omega'_s \\ &= \frac{2\pi}{D_1} - \frac{\pi}{D} = \left(\frac{2}{D_1} - \frac{1}{D}\right)\pi \longrightarrow \omega_{s1} = \left(\frac{2}{3} - \frac{1}{12}\right)\pi = \frac{7\pi}{12} \\ \omega_{p1} &= \omega_p = \frac{\pi}{16} \quad \Rightarrow \quad M_1 = 11 \\ \omega_{p2} &= D_1 \omega_p = \frac{3\pi}{16} \quad \Rightarrow \quad M_2 = 83 \\ \omega_{s2} &= \left(\frac{2}{4} - \frac{1}{4}\right)\pi = \frac{\pi}{4}\end{aligned}$$

# Esquemas de múltiples etapas: Ejemplo de decimación

Una señal muestreada a  $F_0 = 96\text{kHz}$  es decimada con  $D = 12$ . El ancho de banda de la señal es de  $F_p = 3\text{kHz}$ , y el ripple  $\delta = 10^{-5}$ . Filtro usando Kaiser.

- Una etapa:

$$\begin{aligned}\omega_p &= 2\pi \frac{3 \times 10^3}{96 \times 10^3} = \frac{\pi}{16} \\ \omega_s &= \frac{\pi}{D} = \frac{\pi}{12}\end{aligned} \quad \Rightarrow \quad M = 249$$

- Dos etapas:  $D_1 = 3$ ,  $D_2 = 4$

$$\begin{aligned}\omega_{p1} &= \omega_p = \frac{\pi}{16} \\ \omega_{s1} &= \left(\frac{2}{3} - \frac{1}{12}\right)\pi = \frac{7\pi}{12}\end{aligned} \quad \Rightarrow \quad M_1 = 11$$
$$\begin{aligned}\omega_{p2} &= D_1 \omega_p = \frac{3\pi}{16} \\ \omega_{s2} &= \left(\frac{2}{4} - \frac{1}{4}\right)\pi = \frac{\pi}{4}\end{aligned} \quad \Rightarrow \quad M_2 = 83$$

- Tres etapas:  $D_1 = 3$ ,  $D_2 = 2$ ,  $D_3 = 2$  ( $M_1 = 11$ )

$$\begin{aligned}\omega_{p2} &= D_1 \omega_p = \frac{3\pi}{16} \\ \omega_{s2} &= \left(\frac{2}{2} - \frac{1}{4}\right)\pi = \frac{3\pi}{4}\end{aligned} \quad \Rightarrow \quad M_2 = 10$$

$\omega_{s2} = \frac{2\pi}{D_2} - \frac{1}{D_1 D_2} \pi = \left(\frac{2}{D_2} - \frac{1}{D_1 D_2}\right)\pi \rightarrow$

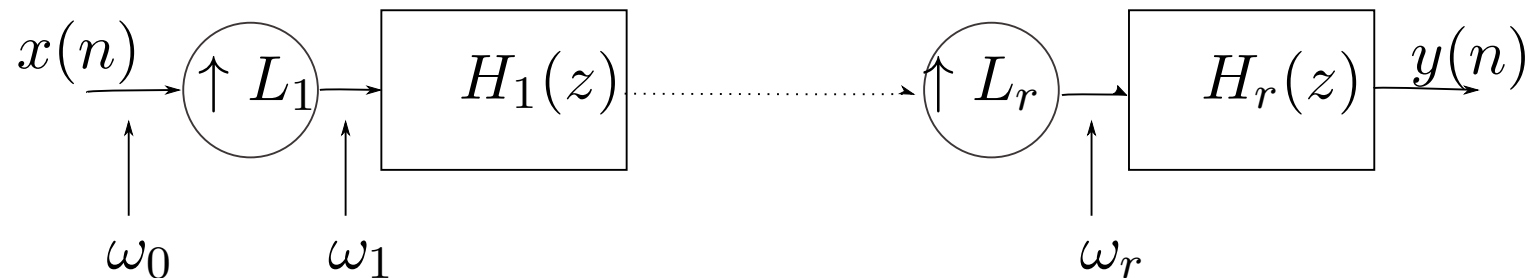
$$\begin{aligned}\omega_{p3} &= D_2 \omega_{p2} = \frac{3\pi}{8} \\ \omega_{s3} &= \left(\frac{2}{2} - \frac{1}{2}\right)\pi = \frac{\pi}{2}\end{aligned} \quad \Rightarrow \quad M_3 = 11$$

$\omega_{s3} = \left(\frac{2\pi}{D_3} - \frac{1}{D_2 D_3}\right)\pi \rightarrow$

# Esquemas de múltiples etapas: interpolación

En este caso, vamos a implementar un interpolador por un factor  $L$  tal que

$$L = L_1 L_2 \cdots L_r.$$



El filtrado de la  $i$ -ésima etapa se realiza a la tasa:  $\omega_i = L_i \omega_{i-1}$ . Este filtrado es para eliminar las imágenes que provoca la interpolación.

Como antes, buscamos implementar el filtro más laxo posible.

$$\begin{aligned} \text{banda de paso:} \quad & \omega_{p_i} = L_1 \cdots L_{i-1} \omega_p = L_{i-1} \omega_{p_{i-1}} \\ \text{banda de transición:} \quad & \omega_{s_i} = \frac{2\pi}{L_i} - \frac{\omega_s}{L_1 \cdots L_{i-1}} = \left[ \frac{2}{L_i} - \frac{1}{L_1 \cdots L_i} \right] \pi. \end{aligned}$$

# Esquemas de múltiples etapas: interpolación

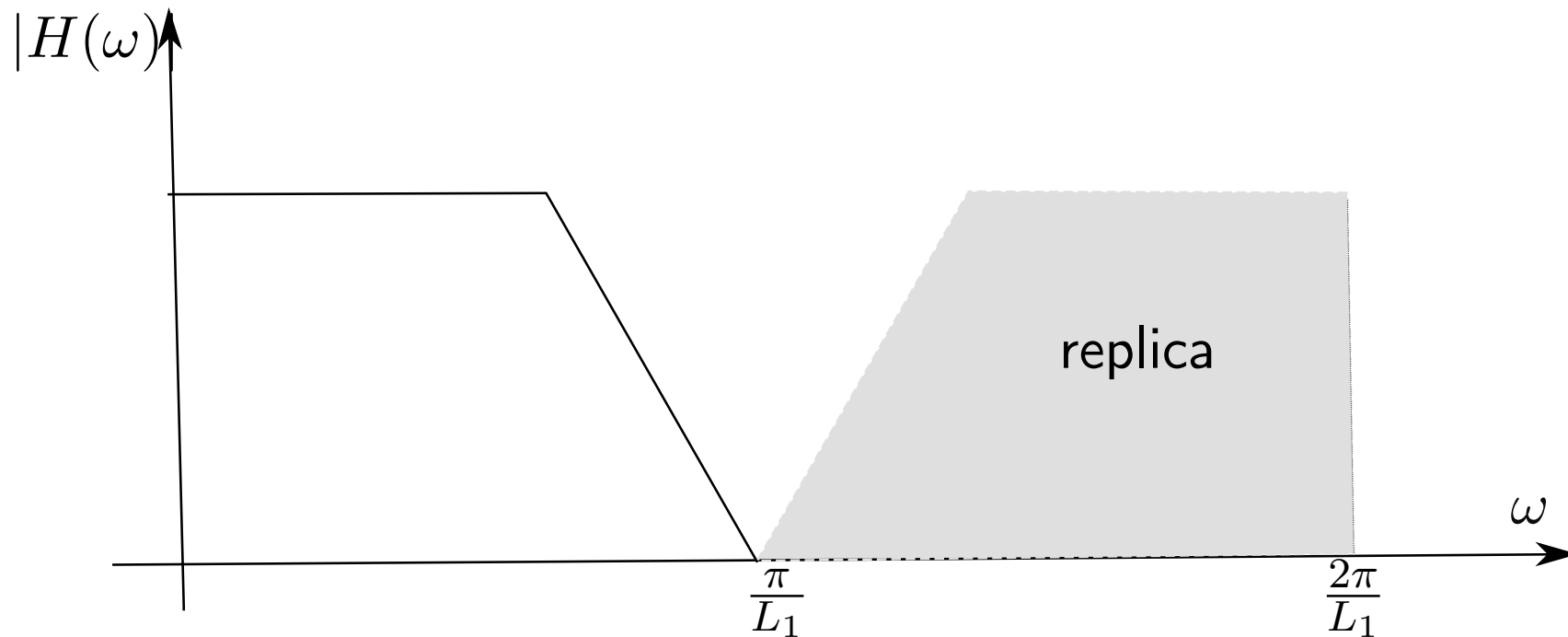
## Observaciones:

- El factor de interpolación al finalizar la  $i$ -ésima etapa es  $L_1 \cdots L_i$ . Luego, se necesita eliminar todas las imágenes por encima de  $\pi/(L_1 \cdots L_i)$ . La elección de  $\omega_{s_i} > \pi/(L_1 \cdots L_i)$ , permite implementar un filtro de menor orden.



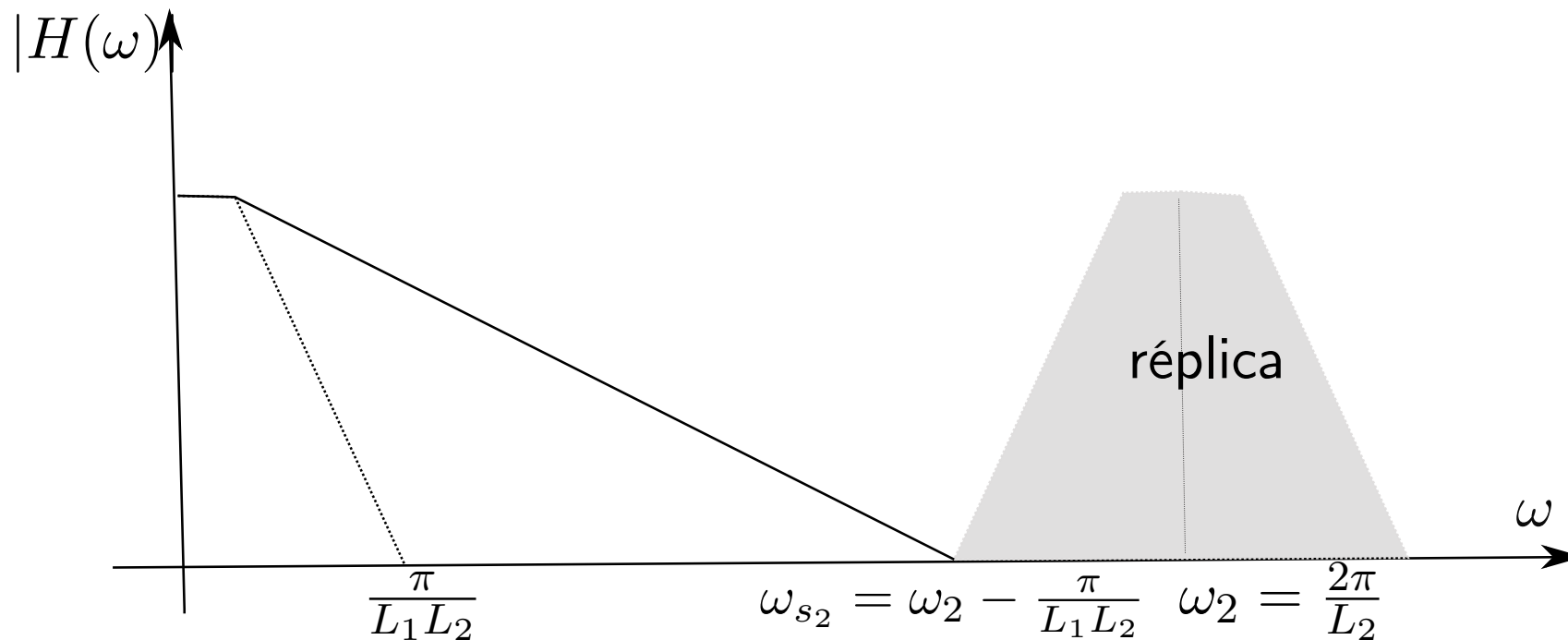
# Esquemas de múltiples etapas: interpolación

Observaciones:



# Esquemas de múltiples etapas: interpolación

Observaciones:



# Esquemas de múltiples etapas: Ejemplo de remuestreo

*Una señal muestreada a  $F_0 = 48\text{kHz}$  debe ser remuestreada a  $F_1 = 44,1\text{kHz}$ .*

- Implementación directa:

$$\frac{F_1}{F_0} = \frac{441}{480} = \frac{147}{160}$$

Se requiere un factor de interpolación  $L = 147$  para luego decimar con  $D = 160$ . El filtro trabaja con la frecuencia interpolada  $LF_0 = 7\text{MHz}$ .

- Vemos que

$$147 = 7 \times 7 \times 3 \quad \text{y} \quad 160 = 10 \times 8 \times 2$$

Luego, se pueden implementar 3 etapas remuestreadoras

$$\frac{L_1}{D_1} = \frac{7}{10} \quad , \quad \frac{L_2}{D_2} = \frac{7}{8} \quad , \quad \frac{L_3}{D_3} = \frac{3}{2}$$

# Esquemas de múltiples etapas: Ejemplo de remuestreo



# Ejercicios

- 1 Considere el ejemplo de decimación que se trabajó anteriormente:

*Una señal muestreada a  $F_0 = 96\text{kHz}$  es decimada con  $D = 12$ . El ancho de banda de la señal es de  $F_p = 3\text{kHz}$ , y el riple  $\delta = 10^{-5}$ .*

Verifique que las implementaciones multietapa están libres de aliasing.

- 2 Ahora considere el último ejemplo de remuestreo:

*Una señal muestreada a  $F_0 = 48\text{kHz}$  debe ser remuestreada a  $F_1 = 44,1\text{kHz}$ .*

Nuevamente, verifique que la implementación multietapa está libre de aliasing.

# Identidades Multirate

## Decimación

$$x(n) \xrightarrow{\downarrow D} H(z) \rightarrow y(n) \equiv x(n) \xrightarrow{H(z^D)} \downarrow D \rightarrow y(n)$$

*Decimar y luego filtrar equivale a interpolar el filtro y luego decimar*

# Identidades Multirate

## Decimación

$$x(n) \xrightarrow{\downarrow D} H(z) \rightarrow y(n) \equiv x(n) \xrightarrow{H(z^D)} \downarrow D \rightarrow y(n)$$

*Decimar y luego filtrar equivale a interpolar el filtro y luego decimar*

## Interpolación

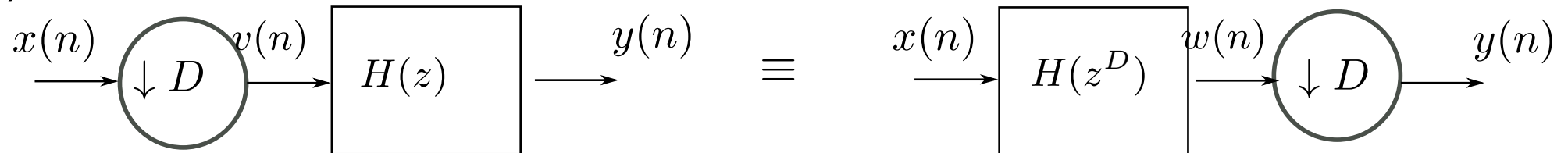
$$x(n) \xrightarrow{H(z)} \uparrow L \rightarrow y(n) \equiv x(n) \xrightarrow{\uparrow L} H(z^L) \rightarrow y(n)$$

*Filtrar y luego interpolar equivale a interpolar y luego filtrar con filtro interpolado.*

# Identidades Multirate

Estas identidades nos van a permitir armar estructuras eficientes para el procesamiento multirate. Para familiarizarnos con el manejo de estas expresiones, vamos a demostrar cada una de ellas.

## 1) Decimación:



A partir del diagrama de la izquierda, tenemos:

$$Y(z) = H(z)V(z) \quad V(z) = \frac{1}{D} \sum_{k=0}^{D-1} X(z^{1/D} W_D^k)$$
$$Y(z) = \frac{1}{D} \sum_{k=0}^{D-1} H(z) X(z^{1/D} W_D^k)$$

Handwritten notes in red and blue ink on the right side of the equations:

- $W_D^k = e^{j2\pi k/D}$
- $V(w) = V(z)$  with  $z = e^{j\omega}$
- $= \frac{1}{D} \sum_{k=0}^{D-1} X(e^{j\omega/D} e^{j2\pi k/D})$
- $= \frac{1}{D} \sum_{k=0}^{D-1} X(\frac{\omega}{D} - \frac{2\pi k}{D})$

(1)



# Identidades Multirate

## 1) Decimación:



Por otro lado, analizando el diagrama de la derecha resulta:

$$Y(z) = \frac{1}{D} \sum_{k=0}^{D-1} \underline{W}(z^{1/D} W_D^k) \quad \text{y} \quad \underline{W}(z) = H(\underline{z^D}) X(z)$$

The equation shows the relationship between the output spectrum  $Y(z)$  and the input spectrum  $X(z)$ . The first part of the equation,  $Y(z) = \frac{1}{D} \sum_{k=0}^{D-1} \underline{W}(z^{1/D} W_D^k)$ , has a blue box around the term  $z^{1/D} W_D^k$  and a blue arrow pointing from this box to the  $z^D$  term in the second part of the equation. The second part,  $\underline{W}(z) = H(\underline{z^D}) X(z)$ , has a red box around the  $z^D$  term and a red arrow pointing from this box to the  $W_D^k$  term in the first part of the equation.

# Identidades Multirate

## 1) Decimación:



Por otro lado, analizando el diagrama de la derecha resulta:

$$Y(z) = \frac{1}{D} \sum_{k=0}^{D-1} W(z^{1/D} W_D^k) \quad \text{y} \quad W(z) = H(z^D) X(z)$$

Recordando que  $W_D^{kD} = e^{j\frac{2\pi}{D}kD} = 1$ , recuperamos el resultado en (1).

# Identidades Multirate

## 1) Decimación:



Haciendo el análisis en el tiempo, si tomamos el diagrama en de la izquierda tenemos:

$$v(n) = x(nD) \quad \& \quad y(n) = \sum_k h(k)v(n - k) \quad (2)$$

$$y(n) = \sum_k h(k)x((n - k)D) \quad (3)$$

# Identidades Multirate

## 1) Decimación:



Haciendo el análisis en el tiempo, si tomamos el diagrama en de la izquierda tenemos:

$$v(n) = x(nD) \quad \& \quad y(n) = \sum_k h(k)v(n-k) \quad (2)$$

$$y(n) = \sum_k h(k)x((n-k)D) \quad (3)$$

Operando sobre el diagrama de la derecha, tenemos

$$y(n) = w(nD) \quad \& \quad w(n) = \sum_k h(k)x(n-kD)$$

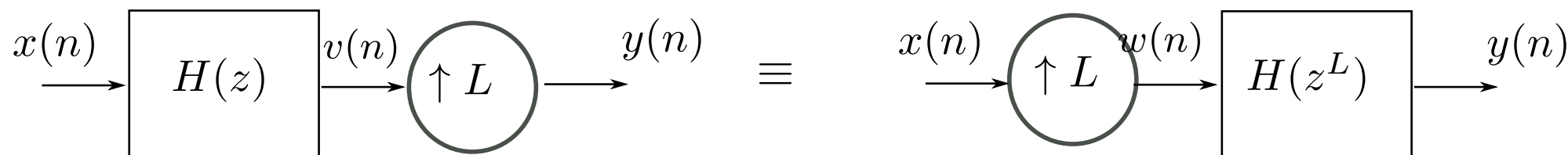
Nuevamente, recuperamos (2).

## 2) Interpolación:

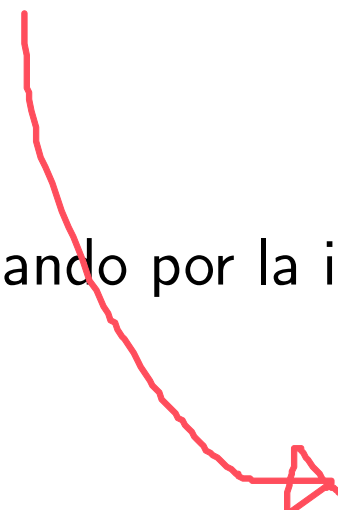


# Identidades Multirate

## 2) Interpolación:

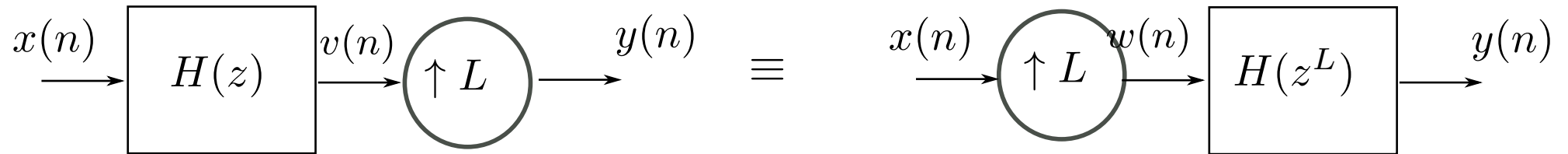


Comenzando por la izquierda, tenemos,


$$Y(z) = V(z^L) = H(z^L)X(z^L) \quad (4)$$

# Identidades Multirate


## 2) Interpolación:



Comenzando por la izquierda, tenemos,

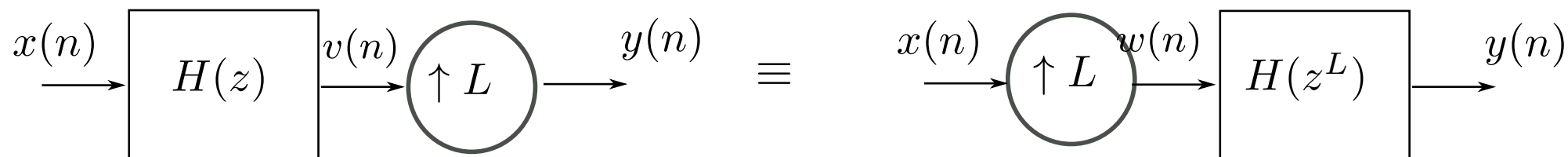
$$Y(z) = V(z^L) = H(z^L)X(z^L) \quad (4)$$

Por otro lado, trabajando con el diagrama a la derecha


$$Y(z) = H(z^L)W(z) = H(z^L)X(z^L) \quad (5)$$

# Identidades Multirate

## 2) Interpolación:



Con el análisis en el tiempo obtenemos para el bloque de la izquierda,

$$y(n) = \begin{cases} v(n/L) & n = kL \\ 0 & \text{otherwise} \end{cases} = \begin{cases} \sum_i h(i)x(n/L - i) & n = kL \\ 0 & \text{otherwise} \end{cases}. \quad (4)$$

donde usamos el hecho que  $v(n) = \sum_i h(i)x(n - i)$ .



# Identidades Multirate

## 2) Interpolación:



Por otro lado, analizando el diagrama de la derecha, vemos que la respuesta impulsiva de  $H(z^L)$  es

$$h(0) \underbrace{0 \cdots 0}_{L-1} h(1) \underbrace{0 \cdots 0}_{L-1} h(2) \cdots$$

y la señal interpolada  $w(n)$  es

$$x(0) \underbrace{0 \cdots 0}_{L-1} x(1) \underbrace{0 \cdots 0}_{L-1} x(2) \cdots$$

Handwritten notes in red and blue ink:

- $X_{\uparrow L}(w) = X(Lw)$
- $f = \frac{f}{LF_s}$
- $z^L = |z|^L e^{jwL}$

Al hacer la convolución de ambas secuencias, vemos que recuperamos (3).